構造物種別における新幹線車両の地震時脱線編成数の期待値の評価

(公財) 鉄道総合技術研究所 正会員 ○成田 顕次 正会員 徳永 宗正 正会員 坂井 公俊

1. はじめに

鉄道構造物において、近年の大規模地震に新幹線車両の脱線が発生している。将来的に発生する大規模地震に備え、各事業者において土木構造物では構造物の価震対策が進められている。脱線対策を効率的に実施するためには路線全体を俯瞰して脱線に対する性能、強度を評価し、対策を優先する路線、構造物種別、構造形式、対策工法等を選定していく必要がある。相対的に弱点となる橋りょう区間に対しては過去に多くの検討がなされており、脱線に対するフラジリティ曲線が算出されているが、盛土、トンネル区間を含む路線全体での評価は過去に例がない、そこで本稿では、路線内の構造物種別、および列車の運行情報を考慮した路線全体の脱線編成数の期待値の算出を行った。車両の地震時の脱線限界は、動的相互作用を考慮した非線形数値シミュレーションに基づき評価した。

2. 検討方法

地震時において、列車編成の中で1輪軸でも脱線した場合走行不能となり、復日に時間を要する. 本論文では、路線全体における脱線編成数の期待値の算出式として、式(1)を提案する.

$$E(N_D|L,A) = E(N|L) \times F(D|L,A) \tag{1}$$

ここで、E は期待値、F は累積確率密度、 N_D は脱線を中編成数、N は走行列車編成数、L は路線、A は地震動規模 D は脱線を生の有無を表す。脱線や車編成数の期待値 $E(N_D|L,A)$ は、設定した路線とおける走行列車編成数の期待値E(N|L) に地震動規模と依存する脱線発生の累積確率密度F(D|L,A) を乗じた値である。E(N|L) は式(2)により算出される。

$$E(N|L) = L_L/(L_v n_v + t_i V)$$
 (2)

ここで、 L_L は路線長、 L_v は車両長、 n_v は車両数、 t_i は単位時間当たりの 平均運行間隔、Vは車両速度を示す、F(D|L,A)は式(3)、式(4)により算出される.

$$F(D|L,A) = \int_{A} P(D|L,A)dA$$
 (3)

 $P(D|L,A) = P(D|A,T,C) \times \int_{C} P(C)dC \times \int_{T} P(T|L)dT$ (4) ここで T は構造物種別、C は構造物の振動特性を表す.

図1に示すように、統計調査により得られた構造物毎の振動特性の確率密度分布P(C)を設定した.

脱線発生確率密度分布P(D|A,T,C)は、非線形動的解析により地震規模A、構造物配別、構造物の振動物性C毎ご評価した 図2に、非線形動的解析で用いた車両の力学モデルを示す。車両は、車体台車、輪軸の各構成要素を剛体と仮定し、これら剛体をばね、ダンパーで結合した三次元モデルとした 1車両当たりの自由度は31である。また、実

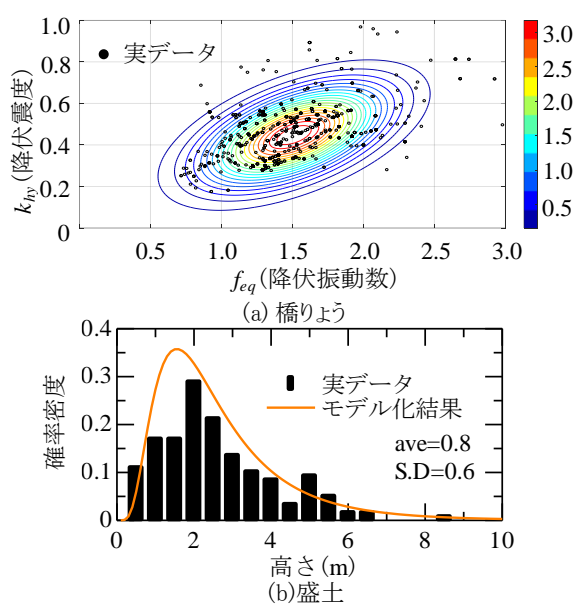
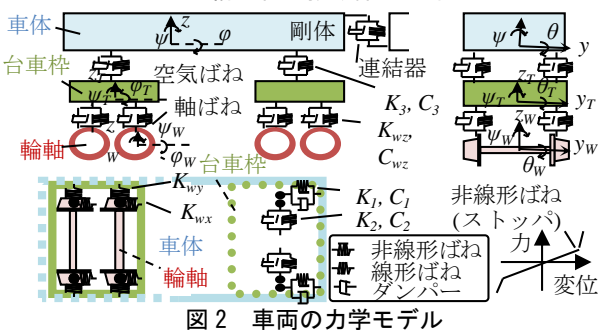


図1 構造物の振動諸元分布



四と 手刷のカチェアル

十分長い剛梁要素(走行位置)

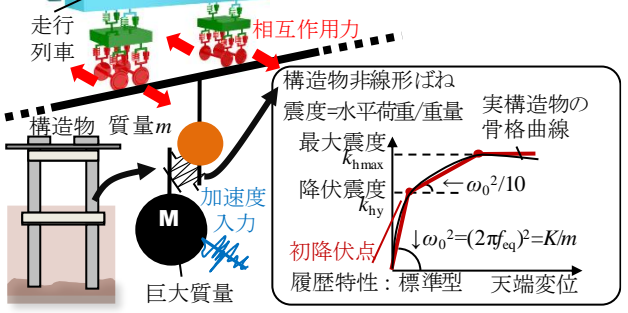


図3 構造物の力学モデル

表1 仮想路線の路線情報

路線名 線路延長 <i>L</i> _L		構造物種別の存在割合P(T L)			運行	車両/
		橋りょう	トンネル	盛土	間隔 (t _i) 分/本	編成 (<i>n_v</i>)
A	260 km	40%	50%	10%	10, 20, 30	8
В	270 km	58%	38%	4%		12
С	500 km	70%	25%	5%		10

車では各構成要素間に著大な相対変位を抑制できるストッパーが設けられていることから、ばねはンイリニア形の非線形がおとした。本研究で

キーワード 鉄道橋,盛土,地震応答解析,距離減衰,脱線編成数 連絡先 〒185-8540 東京都国分寺市光町 2 丁目 8-38 (公財) 鉄道総合技術研究所 TEL042-573-7290 用いる車両諸元は新幹線車両諸元を参考に仮定したり. 脱線判定は、車 輪とレールの相対水平移動量を用い、その限界値を±70mmとした

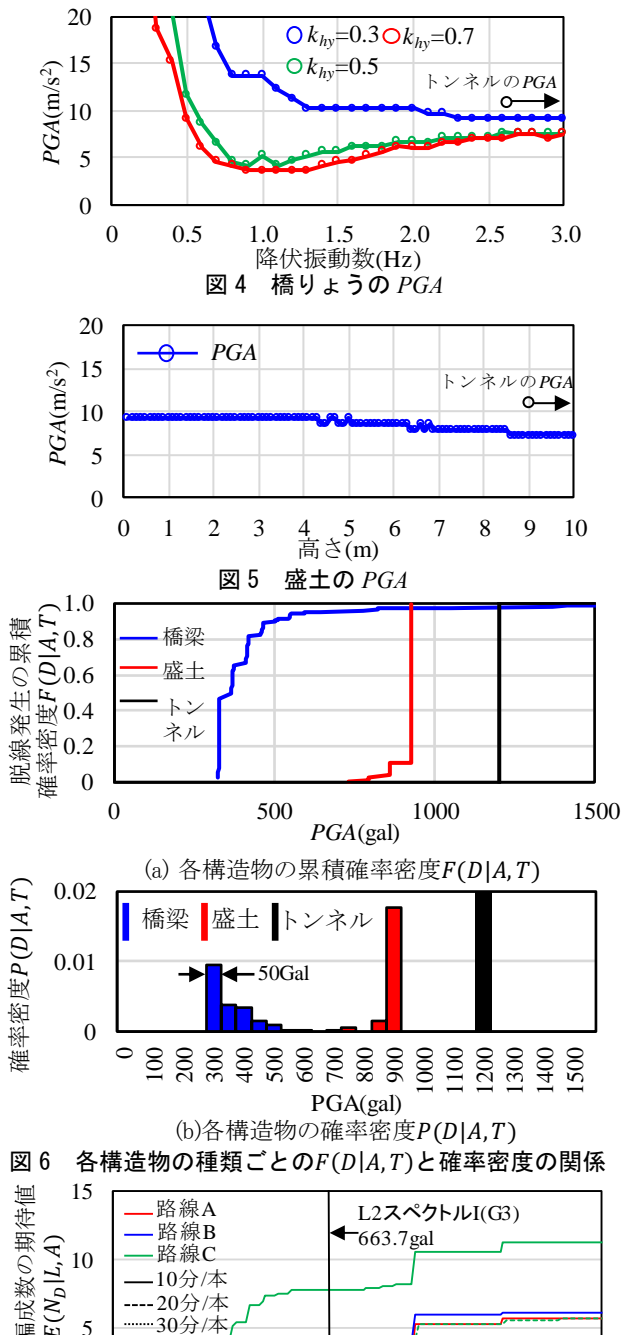
図3に、非線形動的解析で用いた構造物の力学モデルを示す. 鉄道構造物は一般的に標準気計による物が多く、その動的学動は1自由 度系モデルで表現できることが多いことから、構造物はトリリニア型の 骨格曲線、標準型の履歴特性を持つ1自由度系でモデル化した、骨格曲 線は、降伏震度 k_{ma} 、最大震度 k_{ma} 、降伏振動数 f_{co} 、構造物単位長さ重量 wsをパラメータとして設定し、2次勾配を1次勾配の1/10、3次勾配は1 次勾配の1/1000 とした 減衰は、構造物の各モードに対して5%のモー ド減衰比 & として与えた. w。は、構造物と車両の単位長さ重量 (w=17kN/m) の比 a (=w/w) が 100 として車両構造物間の相互作用によ る効果を無視できる条件で応答解析を行った、盛土の動的挙動について も橋りょうと同様に等価な1自由度系モデルで簡易に表現することとし た2. 本検討では、地震動入力に対する時刻歴応答解析は、橋りょう、盛 土に対しては、路線全体の平均的は地盤を想定して L2 地震動スペクト ルI(G3 地盤)を用いた トンネルに対しては、基盤波に近いL2 地震動ス ペクトルI(G1 地盤)を用いた

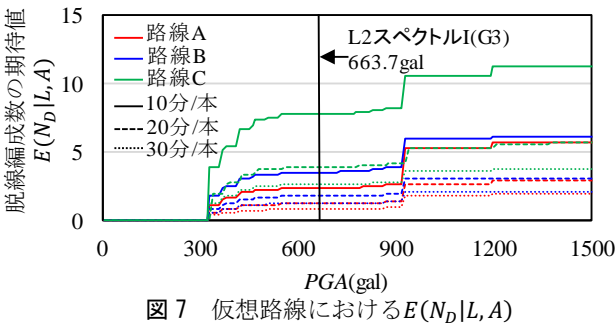
3. 解析結果

図4に、橋りょう区間における脱線限界加速度を示す。図の縦軸は それぞれ車両が脱線する限界時の入力加速度の最大値(PGA)である. 図 から、降伏震度が0.7、0.5 の場合はPGAが概ね同程度である一方、降伏 震度が低下するほどPGAが全体的は増加する傾向にあることが分かる.

図5に、盛士区間における脱線限界加速度を示す。図から、盛士のPGA は、5mまでは、高さが増加しても9m/2程度であり、5m以上の領域で は7m/3まで緩やかに低下する傾向にある。また、図には、トンネルの PGAの値をプロットしている. 本検討ではトンネルの線形がおの剛性を 十分剛としたことからPGAは1200galとなった。これからトンネルは橋 りょう、盛士に比べて入力が速度の限界値が高いことが分かる。

図 6 に、脱線発生の累積確率密度F(D|A,T)および確率密度 P(D|A,T)を示す。図の横軸は入力加速度の最大値PGA)である。橋り よう区間の場合、不同変位の影響による脱線限界の低下を考慮するため 解析により得られた限界値を10%低減させた、図から、橋りょう、盛土 トンネルの順こ、PGAが増加することがわかる、確率密度に着目すると、 橋りょう区間ではPGAが平均的には300gal程度、盛土区間ではPGAが 900gal 程度, 盛土区間ではPGAが1200gal 程度で増加しており, 脱線す るケースが増加することが分かる。累積確率密度に着目すると、橋りょ う区間では入力加速度が 370gal 程度の時、盛土区間では入力加速度が 900gal 程度の時、トンネル区間では入力加速度が 1200gal 程度の時ご脱 線発生確率が50%を超過することが分かる. これから俯瞰的に見れば、 盛士区間は橋りょう区間の3倍程度、トンネル区間は4倍程度限界にい





たる地震動レベンレが大きいことが分かる。 $\mathbf{27}$ に、仮想路線における脱線が車編式数の期待値 $\mathbf{E}(N_D|L,A)$ を示す。図から、運行本数の増加と ともに $E(N_D|L,A)$ は線形的に増加する事が分かる. 路線A及びBは、L2スペクトルI地震動(G3)地盤を入力した場合,1-4 編成程度脱線する可能性がある一方,路線C はA,B と比較して $E(N_D|L,A)$ が大きく,L2 スペクトルI 地震動(G3)地盤を仮想路線こ入力した場合,最大で8 編 成得朝脱線する可能性があることが確認できる。これは、路線では脱線限界が低い橋りょう区間長が長いためであると考えられる。

4. まとめ

本論文では、路線内の橋りょう、盛土、トンネル区間の構造物種別、および列車の運行情報を考慮した路線全体の脱線編成数の期待値の評価 を目的として数値解析に基づく検討を実施した結果、構造物種別の路線長割合、構造物種別毎の脱線発生確率 列車の運行情報を考慮した脱線 列車編成数の期待値を定式化した. 数値解析により得られた脱線限界および反想路線の運行情報に基づくと、脱線編成数の期待値は、L2 スペ クトルI地震動の場合に1~8 編成程度であり、路線内の橋りょう区間長に大きく依存することが明らかとなった。

参考文献

1)松本信之, 田辺誠、涌井一, 曽我部正道: 非線形花答を考慮した鉄道車両と構造物との連成花答解析法に関する研究、土木学会論文集A, Vol.63, No.3, pp.533-551,2007. 2)坂井公俊、荒木豪、室野剛隆:等価1自由度モデルを用いた盛土の地震時持線形学動の評価、土木学会論文集A1(構造・地震工学), Vol.73, No.1, pp.174-186, 2017.